

神戸大学工学部 正〇北村泰寿  
神戸大学大学院 学 水野正英  
大阪市役所 正 永沢章行

## 1. まえがき

著者等は走行車両による沿道の地盤振動を評価するための一例として、簡単なモデルによる数値計算結果を本会支部講演会で既に報告した。<sup>1)</sup>前報では、図-1に示すようなモデルに対して、モンテカルロ・シミュレーションを利用し、振動遮断率の分布、距離減衰特性、交通量による振動遮断率への影響等を調べた。今回は計算モデルに出来子だけ合うような場所を数ヶ所選定し、前報の計算手法による計算結果との比較を行なった。とくに、前報においては絶対値による比較であったが、今回は絶対値についての検討も行なつたので合わせて報告する。なお、選定された実測場所は計算モデルに合うような場所を選んでいたため、苦情等の生じている場所ではなく、路面状態が良好と思われる場所であった。

## 2. 計算手法の概要

計算手順における段階は以下のようである。

- 交通流は図-1のようく一方向で、同一直線上を等速で流れる。
- 観測区间として有限の距離をとり、その区間の流れのみを対象とする。
- 交通流は限界車頭距離を考慮して不アソソン分布で従うとする。
- 一車両による地盤振動の式は次式とする。

$$v = C \left( \frac{1}{\sqrt{x}} \right) \sin(\omega t + \phi) \exp(-dx)$$

- 車種構成は車両を大型、小型の2種類に分けそれぞれの割合は独立とする。また、地盤振動の振動遮断率として、大型、小型の比率を 1 : 0.7 とする。

## 3. 実測の概要

実測場所の選定としては、以下のような場所を選んだ。

- 交通流の流出入がない、信号機の影響が入っていない場所。
  - 片側車線が一車線で、出来子だけ直線距離が長い場所。
  - 交通量、車種混合率が異なる場所。
  - 車線直角方向へとった測線に家屋等の影響が入らない開け戻り場所。
- 5ヶ所を選定し、一括表にすると表-1のようである。

## 4. 結果の整理

計算結果、実測結果といずれも「交通騒音の測定法」に準拠して、5秒周期ごとの瞬時値の累積度数曲線より中央値、90%上、下限値を求め、それらの値で比較検討を行なう。得られた結果を距離減衰率について図示すると図-2～6のようになる。図に示すように実測した交通流の車頭距離も含めて図示してある。なお、計算結果の条件としては、実測の交通量、車種混合率を従うとして、それ以外は車速  $50 \text{ km/h}$ 、観測区間長  $l = 400 \text{ m}$ 、振動数  $\omega = 80 \text{ rad/sec}$ 、Rayleigh 波速度  $200 \text{ m/sec}$ 、係數  $\alpha = 0.02$ 、限界車頭距離  $10 \text{ m}$ とした。また、計算および実測の測定個数としては AD 電波用計算式の容量より  $2^8 = 256$  個(約 21 分間)とした。

## 5. 結果の検討

計算と実測の  $5 \text{ m}$  地点の  $L_{A,1}$  を一致させて、距離減衰特性、振動遮断率のバラツキを見ると、図-2～6の結果より、表-1の No.1, 2, 4 については比較的よく合っている。一方、No.3 については  $10 \text{ m}$  地点で実測値が小

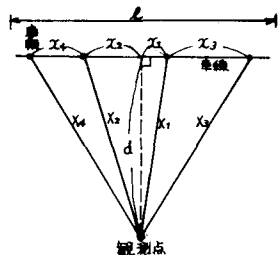


図-1 計算モデル

No.	場所	交通量	表-1 実測場所	
			小型台数	総台数
1	南島176号線 神戸市北区青馬	341 DPM	0.682	
2	ハイパスオーバー明石 明石市	610	0.803	
3	周島250号線 明石市土山	353	0.850	
4	周島2号線 明石市二見	594	0.756	
5	周島175号線 神戸市垂水区玉津	520	0.886	

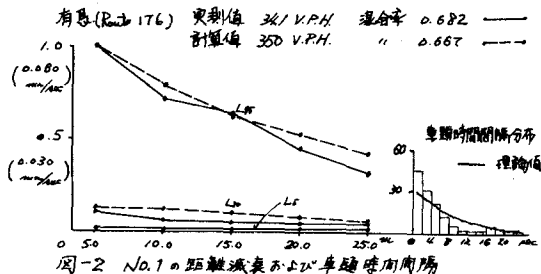


図-2 N.0.1 の距離減衰および車頭時間間隔

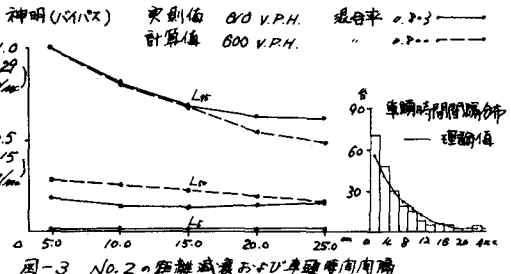


図-3 N.0.2 の距離減衰および車頭時間間隔

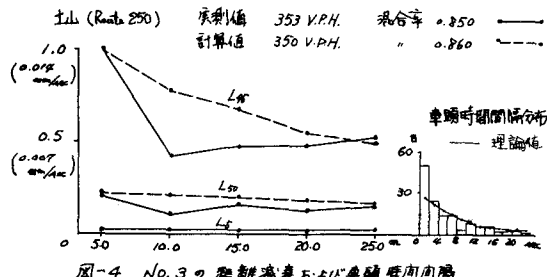


図-4 N.0.3 の距離減衰および車頭時間間隔

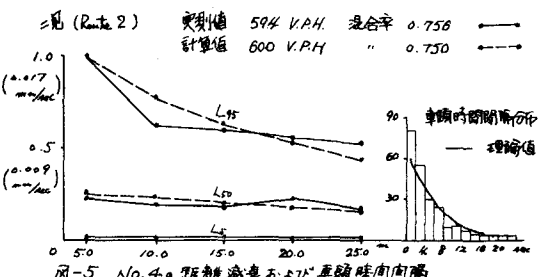


図-5 N.0.4 の距離減衰および車頭時間間隔

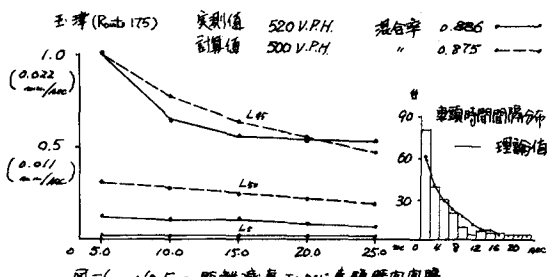
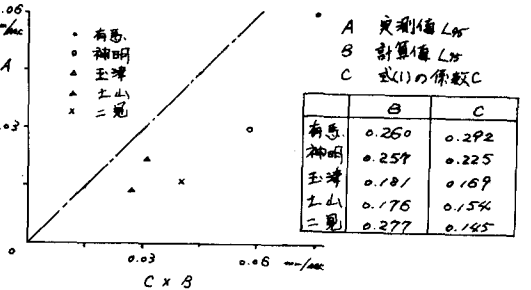


図-6 N.0.5 の距離減衰および車頭時間間隔



さて、N.0.5についてもしろが全体く低く出ており、今のところは実測データによく判らないので今後の検討として残しておこう。また、振動速度過の絶対値については、N.0.1の5m地点において  $L_{95} = 0.06 \text{ m/mile}$  と小さく、それ以外はさらに小さくなっている。これは大型車両一台のピーケーク値よりもかなり小さい。本報告における実測データの読み取りよりAD変換用計算式を用いて秒時間の瞬時値を読み取るという方法によつており、且つ秒時間の値をメータ指針等で読み取るより正確に読み取れりうる影響と考えられる。この点、1秒時間の値の読み取り方法としてメータ指針で読み取る方法と計算値との比較も必要であるかと感いたい。つまり、数値計算はいずれも(1)式のC正1にして処理しておらず、実測値との比較においてC正1からすべきか問題である。いま、Cの決定法として実験があとは思われるが、大型車両通過時の測定データの内、10m地点での振動速度ピーケーク値数個の平均をとり、(1)式のsinの項を省略した結果より  $\alpha = 0.02$  としてCを決定し、(1)式を用いて数値計算した5m地点の  $L_{95}$  と実測値の  $L_{95}$  を比較すると図-7のようになる。計算値と実測値はオーダーとしては一致しているが、実測  $L_{95}$  が小さく見える傾向にある。これは前述のごとく、実測の1秒時間瞬時値の読み取り方法の影響が大きいものと思われる。

## 6. むすび

連続走行する車両による地盤振動の復元簡単なモデルに基づき数値計算を行ない、実測結果と比較を行なったが、地盤特性、舗装状況、走行速度等がより大胆にモデル化した場合には合っていないと思われる。しかしながら、今回の路面状況等比較的良好で苦情等の生じてない所であり、実際に公害問題の生じている所は他に様々な要素もあると思われるので、さらに条件変更をした場合についても検討を進めて行きたい。

参考文献: 1)北林、水野:走行車両による地盤振動のシミュレーション、昭和47年度国土支部年講講演概要、